

Tm - grayace
co-cg,

VIII 1550

1960

EuAl₂, TuAl₂, Y₆Al₂, LuAl₂, TuFe₂, NdCo₂,
TuCo₂, Y₆Ni₂ (r.c.)

Haszko S.E.,

Trans. Metallurg. Soc. AIIME,
1960, 218, N5, 958

PRX; 1962, 14B175 illus lets open.

1961

VIII 1764

LuB₁₂, TuB₁₂, ErB₁₂, HoB₁₂, DyB₁₂,
YB₁₂ (re)

La Placa S., Binder J., Post B.,
J. Inorg. and Nucl. Chem.,

1961, 18, 113 - 117

Prax, 1962, 15212

Mr

left open.

T₄Al₃, T₄Al₂ (Tin, spicul. esp. - 1963)

Yones J. J., Norlock L.R.

Boucher R.R.,

VIII 3980

J. Less - Common Metals,

1963, 5, N2, 128-133

P. H. M.

X, 1964, 2B399

Tm AsO₄

1970

Brown L.F., Ross S.D.

vi

Spectrochim. Acta, 1970, 26,
955-61.

(see MgSe₄·H₂O)

TmC₂ (20°)

VII 5550

1972

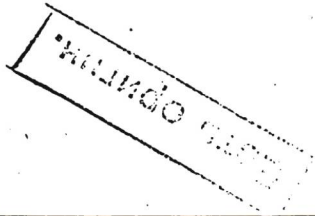
Filby Z. S., Ames L. L.,

High. Temp. Sci., 1972, 4 (2),

160-69



MFO



La Tm O_3 крист.

1976

Porotnikov S. V.

(Ji)

Zh. Neorg. Khim 1976,
21(5) 1420-2 (Russ)

(если LaNbO_3 ; III)

TmPO₄

1977

ЗД572. Эффекты Яна — Теллера, индуцированные случанными напряжениями, в TmPO₄. Mehgan F., Plaskett T. S., Stevens K. W. H. Jahn-Teller induced random strain effects in TmPO₄. «Phys. Rev. B: Solid State», 1977, 16, № 1, 1—3 (англ.)

Соединение TmPO₄, обладающее структурой типа циркона, не обнаруживает кооперативного ян-теллеровского фазового перехода, в отличие от ранее изученных соединений TmVO₄ и TmAsO₄. Причина этого явления, кроется, по-видимому, в том, что в TmPO₄ ионы Tm³⁺ не находятся в вырожденном электронном состоянии, что в свою очередь, может быть связано с обратным знаком члена второго порядка для кристаллич. поля в фосфате. Существуют однако возбужденные электронные дублеты, лежащие выше основного состояния на ~44 и 208° К, и взаимодействия этих состояний с фононами может вызвать неоднородные ян-теллеровские динамич. напряжения. Исследовался ЭПР ионов Gd³⁺ в TmPO₄ на частоте ~9 Гц в интервале т-р от 1,7 до 400° К. Кристаллы содержали ~1000 м. д. Gd. Во всем изученном интервале т-р спектры обнаруживают тетрагональную симметрию. Параметры спин-гамильтониана имеют сле-

*Эффект
Янс-Теллера*

*Ф. 1978
№ 3*

дующие значения: $\sigma = 1,992 \pm 0,002$; $B_4^0 = (-8,7 \pm 0,1) \cdot 10^{-6} \text{ см}^{-1}$; $E_{J,0}^0 = (3,7 \pm 0,4) \cdot 10^{-8} \text{ см}^{-1}$; $R^4 = (2,2 \pm 0,5) \cdot 10^{-4} \text{ см}^{-1}$; $B_6^{(4)} = (-1,7 \pm 0,6) \cdot 10^{-6} \text{ см}^{-1}$. Зависимость от температуры имеет вид, аналогичный зависимости второго порядка B_2 : при наружении температуру зависимость: с повышением температуры с 150 до 450° К он уменьшается от 2,25 до 2,17 (10^{-2} см^{-1}). Все семь линий тонкой структуры обнаруживают увеличение ширины при возрастании температуры. Существуют два основных механизма уширения линий ЭПР-спектра в высокосимметричной ян-теллеровской фазе. Один из них связан со случайным динамич. натяжением, действующими ближайшее орторомбич. окружение иона Gd^{3+} ; распределение орторомбич. параметров создает ширение линий. Второй механизм связан с диполь-дипольными взаимодействиями $Gd^{3+} - Tm^{3+}$. Доминирует первый механизм.

Tm-CN

1979

Лебов В.В. УГР.

(Даноин.) Ил. прик. описатель.,
1979, 31(2), 265-10.

(см. Sc-CN; III)

TmH

1979

железо
магнит.

Рыжко" Р.

Phys. Soc. 1979, 20,
N5-6, 647-51.

X. 1980.N9

авг. 82 H-II

TnLz Gingerich R. A., 1980

Current Topics in Materials
Science, Volume 6, edited
by Kaldes E.

Do; North-Holland Publishing
Company, 1980.

(eem6 ommuek b Kopodke ommue-
rob Gingerich).

TmCN

Lommelk 10162 | 1980

Лебов Б.В., Ремесла А.

М.Н.
(80)

Progress in Atomic
Absorption Spectrosc.
1980 (справка)

Tm₃Al₂

[Ommeca 11061]

1981.

Bowden G. Y; et al.

Dekanjs
Jelakcic.
Onapovaric.
gazl.

J. Phys. F: Metal Phys;
1981, 11, 503 - 510.

[Ommeca 11061]

$Tm_2 Fe_{14} B$

1987

Fujii H., Nagata H.,
et al.

Cp;

J. Magn. Magn. Mater.
1987, 70 (1-3), 331-3.

(Cf. $R_2 Fe_{14} B$; ?)